

## ПОМЕХОУСТОЙЧИВАЯ ИДЕНТИФИКАЦИЯ РАДИОТЕЛЕФОННЫХ ПЕРЕДАЧ В АНАЛОГОВЫХ КАНАЛАХ МОРСКОЙ РАДИОСВЯЗИ

В настоящее время для радиотелефонной связи в ультракоротковолновом (УКВ), промежуточноволновом (ПВ) и коротковолновом (КВ) диапазонах морской подвижной службы используются аналоговые каналы. Для самоопределения (или идентификации) оператор передающей станции обязан произносить название и позывной сигнал судна или цифровой идентификатор судна. Однако в силу разных причин такая голосовая передача опознавателей может отсутствовать, передана с задержкой или воспринята с ошибками. Неправильная или несвоевременная идентификация судна, которое ведет радиотелефонную передачу, очевидным образом отрицательно влияет на безопасность мореплавания.

В современных судовых связных и навигационных системах широко используются средства автоматической идентификации. Так, для функционирования навигационной автоматической идентификационной системы (АИС) специально выделены отдельные каналы в УКВ диапазоне. АИС имеет технические средства сопряжения с судовой радиолокационной станцией и электронной картографической навигационной и информационной системой (ЭКНИС). Данные АИС активно используются в целях навигации и повышения безопасности мореплавания.

С 1999 года на морских судах в обязательном порядке устанавливается система цифрового избирательного вызова (ЦИВ), которая в свою очередь входит в состав Глобальной морской системы связи при бедствии (ГМССБ). Процедура связи в ГМССБ предусматривает первоначальный вызов судна или береговой станции в системе ЦИВ на специальных вызывных каналах, а затем переход на указанный в вызове работе радиотелефонный (или телексный) канал связи. Такая процедура является общепринятой во всех коммуникационных системах. Однако, например, в спутниковых или сотовых системах связи данная процедура реализуется автоматически. В морской радиосвязи вызовы, назначение рабочих каналов или частот осуществляется вручную оператором-судоводителем. При этом в силу "человеческого фактора" возможны разнообразные комбинации ошибок и нарушений действующего Регламента радиосвязи. Система ЦИВ технически не

обеспечивает однозначной идентификации последующей радиотелефонной передачи.

Следует отметить, что Международной морской организацией активно поддерживается концепция развития электронной навигации (e-navigation), смысл которой состоит в интегрированном использовании всех современных навигационных и связных систем, соответствующих достигнутому техническому уровню развития коммуникационных технологий.

Проблема автоматической идентификации радиотелефонных передач в УКВ диапазоне актуальна и для гражданской авиации. В работах [1, 2] предложены методы одновременной передачи цифровых данных идентификации воздушного судна совместно с аудиосигналом с использованием так называемой технологии цифровых водяных знаков [3]. В статье [4] для встраивания данных идентификации в звуковой сигнал предложено использовать сигналы с расширенным спектром в передатчике и адаптивный алгоритм "обеливания" принимаемого сигнала и последующую согласованную фильтрацию в приемнике.

Однако в реальном радиотелефонном канале на передаваемом аудиосигнале в значительной степени влияют неконтролируемые фазовые искажения. Фазовые искажения, как известно, не влияют на слуховое восприятие речи, поэтому они не регламентируются никакими техническими требованиями к аппаратуре радиосвязи. В то же время фазовые искажения приводят к сильным искажениям формы встроенного сигнала. В этих условиях согласованная фильтрация не дает желаемого результата.

Для преодоления указанного недостатка в настоящей работе предлагается использовать алгоритм модуляции индекса квантования (МИК) [5] с адаптацией шага квантования. МИК позволяет реализовать компромиссное решение выбора параметров скорости, искажений и устойчивости к помехам.

Суть метода поясняется рис. 1. Данные идентификации, в качестве которых используют идентификатор морской подвижной службы

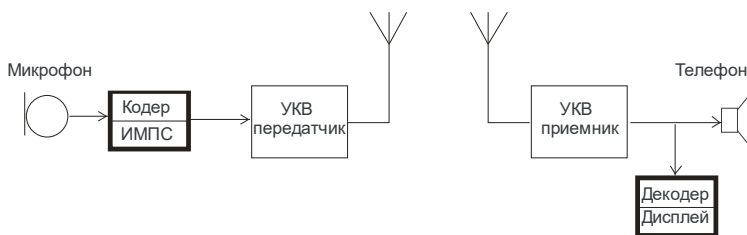


Рис. 1. Автоматическая идентификация радиотелефонных передач

(ИМПС), встраиваются в кодере непосредственно в передаваемый звуковой сигнал. Встроенные данные не мешают ведению обычного радиотелефонного обмена. Извлечение данных на приемной стороне осуществляется с помощью декодера, который подключается к низкочастотному выходу радиостанции. Данные высвечиваются на встроенном мини-дисплее и могут передаваться в другие системы, например, ЭКНИС для отображения передающего судна с помощью какой-либо маркировки.

Устройство, которое реализует алгоритм встраивания-извлечения цифровых данных, реализуется в виде дополнительного блока, который не требует конструктивных изменений штатной судовой радиостанции. Дополнительное оборудование выделено на рис. 1 жирной линией. Данные идентификации передаются совместно со звуковым сигналом и не требуют расширения полосы занимаемых частот и увеличения времени передачи. Остаются в силе также все принятые эксплуатационные процедуры радиосвязи.

Структурная схема канала передачи данных идентификации на фоне речевого сигнала представлена на рис. 2. Речевой сигнал выступает в роли носителя встраиваемых данных. В морской радиотелефонии для передачи речевого сигнала отведена полоса частот (300 ... 3000) Гц. Пакет данных  $d$  состоит из 36 бит, отображающих ИМПС в двоичном коде. Кодер представляет собой электронный процессор, в котором осуществляются следующие существенные операции:

- аналого-цифровое преобразование (на рисунке не показано);
- дискретное преобразование Фурье (ДПФ);
- адаптация шага квантования к мгновенной мощности звукового сигнала;
- встраивание данных с использованием МИК;
- обратное ДПФ (ОДПФ).

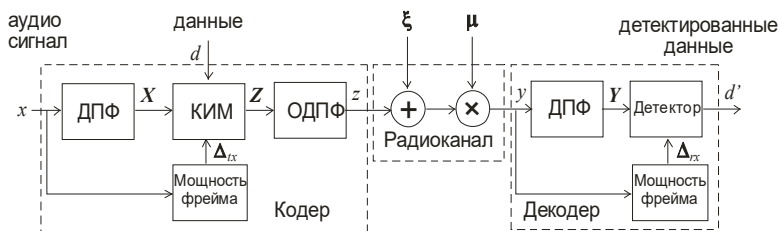


Рис. 2. Структурная схема канала передачи встроенных данных идентификации

В результате встраивания данных на выходе кодера формируется композитный сигнал  $z$ , который по слуховому восприятию не отличается от исходного сигнала  $x$ . Этот композитный сигнал далее может быть передан с помощью стандартной аппаратуры УКВ радиосвязи.

Канал передачи включает в себя судовое приемопередающее оборудование, антенные системы и собственно радиоканал распространения высокочастотных колебаний. Низкочастотные цепи (предусилители, фильтры) являются источниками нелинейных фазовых искажений, которые вызывают искажения формы сигнала во временной области. Основными факторами в радиоканале являются амплитудные искажения и различного рода аддитивные помехи, которые отражены на рис. 2 символами  $\mu$  и  $\xi$  соответственно.

Принимаемый сигнал представляется в форме:

$$y = \mu(z + \xi). \quad (1)$$

На приемной стороне декодер извлекает встроенные данные  $d^1$  из композитного сигнала и направляет их для визуализации на встроенном дисплее и в судовую ЭКНИС.

Математически алгоритм встраивания описывается следующим образом. В принципе, данные могут быть встроены непосредственно в отсчеты сигнала во временной области. Однако, для того чтобы избежать влияния искажений формы сигнала из-за нелинейных фазовых искажений, целесообразно использовать для встраивания амплитуды  $X$  ДПФ, которые, как известно, нечувствительны к нелинейным фазовым искажениям.

Рассмотрим сначала алгоритм скалярной МИК. В скалярной МИК каждый отсчет композитного сигнала в частотной области  $Z_i$  определяется входным отсчетом  $X_i$ , шагом квантования  $\Delta$  и встраиваемого бита  $d_i$  в соответствии с некоторой функцией квантования:

$$Z_i = Q[X_i, \Delta, d_i].$$

Функцию квантования зададим в форме:

$$Q[X_i, \Delta, d_i] = \Delta \text{round}\left(\frac{X_i - \Delta d_i / 4}{\Delta}\right) + \Delta d_i / 4, \quad (2)$$

где  $d_i = \{-1, +1\}$  – встраиваемые данные;  $\text{round}(\cdot)$  – операция округления до ближайшего целого числа;  $i = \overline{1: N/2 - 1}$  – индексы используемых для встраивания амплитуд;  $N$  – длина фрейма (или размерность ДПФ).

Амплитуды коэффициентов Фурье со встроенными данными далее используются для ОДПФ.

Оценка встроенных данных в приемнике осуществляется в соответствии со знаковой функцией

$$d' = \text{sign}(Q[Y_i, \Delta_{rx}] - Y_i). \quad (3)$$

Алгоритм (2) хорошо работает для встраивания информации в мультимедийные файлы. Однако в реальных аналоговых каналах неизбежно присутствует неизвестная мультипликативная помеха, приводящая к изменению масштаба по амплитуде. Поэтому непосредственное применение алгоритма (2) в нашем случае не обеспечивает необходимую помехоустойчивость.

Указанный недостаток, как показано в работе [5], может быть преодолен адаптацией шага квантования  $\Delta$  к среднеквадратическим значениям  $\sigma_{tx}$  и  $\sigma_{rx}$  обрабатываемого фрейма в передатчике и приемнике соответственно. Будем задавать шаг квантования в передатчике  $\Delta_{tx}$  и приемнике  $\Delta_{rx}$  пропорционально  $\sigma_{tx}$  и  $\sigma_{rx}$  обрабатываемого фрейма следующим образом:

$$\Delta_{tx} = k_D \sigma_{tx}, \quad \Delta_{rx} = k_D \sigma_{rx}. \quad (4)$$

Коэффициент  $k_D$  должен выбираться в зависимости от допустимых искажений речевого сигнала. Чем больше значение  $k_D$ , тем больше вносимые искажения в речевой сигнал и тем выше помехозащищенность встраиваемых данных от воздействия внешних помех.

Покажем, что выбор шага квантования в алгоритме МИК (2) в соответствии с (4) делает МИК нечувствительной к искажениям амплитудного масштаба. Положим, что мультипликативная помеха достаточно гладкая, чтобы считать  $\mu = \text{const}$  в пределах длительности одного фрейма. Принимая  $\sigma_{rx} = \mu \sigma_{tx}$  и пренебрегая аддитивным шумом, можно последовательно записать:

$$\begin{aligned} Q[y, \Delta_{rx}, d] &= Q[\mu z, \Delta_{rx}, d] = Q[\mu z, \mu \Delta_{tx}, d] = \mu Q[z, \Delta_{tx}, d] = \\ &= \mu Q[Q[x, \Delta_{tx}, d], \Delta_{tx}, d] = \mu Q[x, \Delta_{tx}, d]. \end{aligned}$$

Тогда детектированные данные на выходе детектора определяются следующим образом:

$$d' = \text{sign}(Q[y, \Delta_{rx}, d] - y) = \mu \text{sign}(Q[x, \Delta_{tx}, d] - x) = d.$$

Следовательно, адаптация шага квантования к среднеквадратическим значениям  $\sigma_{tx}$  и  $\sigma_{rx}$  позволяет сделать МИК нечувствительной к искажениям амплитудного масштаба.

Скалярная МИК позволяет построить один бит в каждый отсчет. Для обеспечения заданной помехоустойчивости требуется достаточно большой шаг квантования, при котором уровень вносимых искажений становится недопустимым. Увеличение помехоустойчивости при за-

данном уровне искажений можно добиться путем уменьшения скорости передачи встроенной информации. Задачу повышения помехоустойчивости при заданных вносимых искажениях можно решить путем распределения встраиваемого бита данных на  $L$  отсчетов сигнала [5].

Для алгоритма с распределением вектор вносимых искажений

$$\mathbf{w} = (\tilde{\mathbf{s}} - \tilde{\mathbf{x}})\mathbf{v} / L, \quad (5)$$

где  $\tilde{\mathbf{x}} = \mathbf{x}\mathbf{v}^T / L$  и  $\tilde{\mathbf{s}} = Q[\tilde{\mathbf{x}}, \Delta, d]$ ,  $\mathbf{v}$  – проектирующий вектор длины  $L$ , состоящий из элементов  $+1$  и  $-1$ .

Вектор композитного сигнала определяется как сумма векторов:

$$\mathbf{z} = \mathbf{x} + \mathbf{v}. \quad (6)$$

Алгоритм распределения уменьшает скорость встраивания данных в  $L$  раз в пользу повышения помехоустойчивости при сохранении заданных вносимых искажений. Так, при использовании ДПФ скорость передачи встроенной информации будет определяться приближенным равенством:

$$R \approx f_s / (2L), \quad (7)$$

где  $f_s$  – частота дискретизации по Котельникову.

Для моделирования алгоритма скалярной МИК в математическом пакете МатЛаб использовался реальный речевой файл с частотой дискретизации 8 кГц. На рис. 3 представлены гистограммы ошибки детектирования  $Q[Y_i, \Delta_{rx}] - Y_i$ , используемой для детектирования встроенного бита, при различных значениях нормированного шага квантования. Вероятности ошибки сведены в таблицу.

Выводы.

1. Для автоматической идентификации радиотелефонных передач предложено использовать технологию цифровых водяных знаков – передачи данных идентификации на фоне звукового сигнала без выделения дополнительных частотных ресурсов. Данный метод не требует каких-либо изменений существующей стандартной радиоаппаратуры и эксплуатационных процедур связи и может использоваться в течение переходного периода от аналоговых радиотелефонных каналов к цифровым.

2. Для повышения помехоустойчивости встроенных данных предложено использовать модуляцию индекса квантования с адаптацией шага квантования на передающей и приемной сторонах и алгоритм распределения встроенных данных. Конкретный выбор коэффициента распределения  $L$  определяется помеховой ситуацией и допустимыми вносимыми искажениями, которые должны быть конкретизированы при натурных испытаниях в реальном канале связи. Для коэффициен-

та распределения в диапазоне  $L = 16 \dots 512$  скорость передачи встроенных данных составит в соответствии с формулой (7)  $R \approx (7,8 \dots 250)$  бит/с.

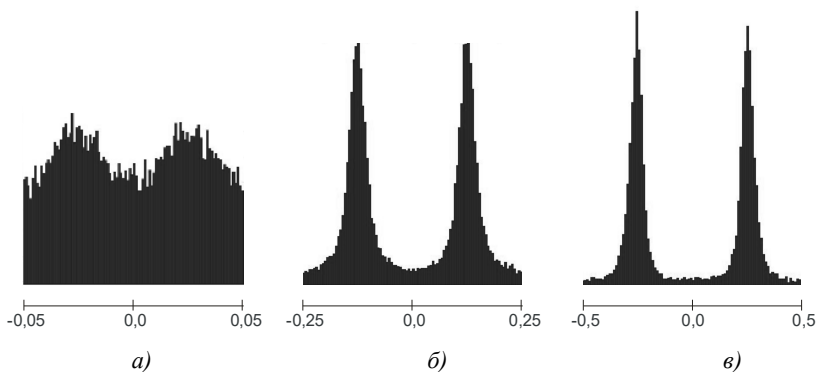


Рис. 3. Гистограммы ошибки детектирования для различных значений нормированного шага квантования  $\Delta/\sigma$  : а) 0,1; б) 0,5; в) 1,0

Таблица

Вероятности ошибки детектирования

Нормированный шаг квантования $\Delta/\sigma$	Вероятность ошибки
0,1	0,312
0,5	0,105
1,0	0,074

### СПИСОК ЛИТЕРАТУРЫ

1. Hering H., Hagmuller M., Kropfl A., Kubin G. Speech watermarking for air traffic control. // Proceedings of the XII European Signal Processing Conference (EUSIPCO), 2004. – P. 1653 – 1656.

2. Hering H., Hagmuller M., Kubin G. Safety and security increase for air traffic management through unnoticeable watermark aircraft identification tag transmitted with the VHF voice communication. Proceedings of the 22<sup>nd</sup> Digital Avionics Systems Conference, 2003. P. 4E2, 1 – 10.

3. Cox I.J., Miller M.L., Bloom J.A. et al. Digital watermarking. Second Edition. Morgan Kaufmann: 2008.

4. Шишкин А.В., Кошевой В.М. Автоматическая идентификация радиотелефонных передач в УКВ диапазоне морской подвижной службы // Автоматизация судовых технических средств: научн.-техн. сб. – 2008. – Вып. 14. – Одесса: ОНМА. – С. 101 – 109.

5. Шишкин А.В., Кошевой В.М. Устойчивая к атакам масштабирования стеганографическая передача информации с исключением мешающего влияния сигнала-носителя: // Изв. вузов. Радиоэлектроника. – 2007. – № 6. – С. 3 – 15.